

Maleic anhydride-Furan계와 Maleic anhydride-Pyrrole계의 Diels-Alder 착체모형에 대한 분자궤도 함수론적 해석(I)

이 길 준·김 우 식*·박 병 각†

영남대학교 이과대학 화학과, *경북대학교 공과대학 고분자공학과

(1993년 12월 16일 접수)

MO Interpretation for Diels-Alder Complex Model of Maleic anhydride-Furan and Maleic anhydride-Pyrrole systems(I)

Gil-Jun Lee, Woo-Sik Kim*, and Byung-Kak Park†

Dept. of Chemistry, Yeungnam University, Kyongsan, Kyongpook, Korea

*Dept. of Polymer Science, Kyongpook National University, Taegu, Korea

(Received December 16, 1993)

요약 : Maleic anhydride-Furan계와 Maleic anhydride-Pyrrole계의 교호 공중합의 반응성을 반경험적인 CNDO/2 방법으로 해석하였다. Diels-Alder 형태의 전하이동착체를 가정하여 Maleic anhydride와 Furan 사이, Maleic anhydride와 Pyrrole 사이의 전하이동량을 계산하여 각각 2.2518, 2.6381 ($\gamma/a.u.$)² 값을 얻었다. Maleic anhydride-Pyrrole 착체의 경우 Maleic anhydride-Furan 착체보다 안정하므로 공중합이 진행하지 않는다는 것을 추측할 수 있었다. 또한 분자궤도함수론적 관점에서 전하이동착체를 고려하여 poly[(maleic anhydride)-*alt*-Furan]의 구조에 대해서 논하였다.

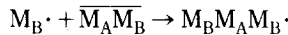
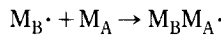
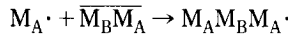
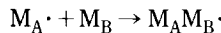
Abstract : The reactivity was interpreted for the alternative copolymerization of Maleic anhydride-Furan and Maleic anhydride-Pyrrole systems by semiempirical CNDO/2 method. The respective values of charge transfer were 2.2518, 2.6381 in the unit of ($\gamma/a.u.$)² between Maleic anhydride and Furan, and Maleic anhydride and Pyrrole based on charge transfer complex model of Diels-Alder configuration. Since the charge transfer complex of Maleic anhydride-Pyrrole is considerably stable compared to that of Maleic anhydride-Furan, it would be considered that Maleic anhydride-Pyrrole system does not proceed to alternative copolymerization. We also theoretically discussed the structure of poly [(maleic anhydride)-*alt*-Furan] on the basis of the above model.

서 론

각 모노머가 교대로 규칙적인 배열을 가진 교호 공중합체의 중합기구를 설명하기 위하여 여러 가지 모형이 제안되어 있다. 최초의 모형은 Dostal의 가정에 바탕을 둔 Mayo와 Lewis에 의해 제안된 terminal model이다.¹ 이 모형은 공중합의 많은 계에 대해 잘 예측할 수 있지만, 예를 들어 Styrene-Fumaronitrile 혹은 Styrene-Maleic anhydride 계에서는

벗어난다.² 이 벗어남을 설명하기 위하여 말단기 라디칼의 반응성이 성장사슬의 penultimate unit의 영향을 받는다는 penultimate model이 제안되었다.³ 이 모형의 경우 terminal model을 어느 정도 보완하지만 중합하는 두 모노머가 착체를 형성하는 경우 새로운 모형이 필요하게 된다. 교호중합시 모노머의 polarity가 큰 경우 착체를 형성하게 되는데 이를 설명하기 위하여 제안된 모형이 complex-partition model이다. 이 모형의 반응기구는 개략적으로 다

음과 같다.⁴



착체($\overline{M_A} \overline{M_B}$)를 형성할 때 전하의 이동이 동반되므로 이를 전하 이동 착체(Charge Transfer Complex, CTC or Donor-Acceptor Complex, DAC)라고 할 수 있다. 이 모형에 대한 연구가 활발히 진행되고 있지만⁵ 미시적인 관점에서 착체만을 취급한 예는 전무한 상황이다. complex-partition model의 경우 Maleic anhydride(MAn)-Styrene(St)계를 중심으로 많은 연구가 이루어 졌으며, 이 공중합체의 경우 전자주개인 St 와 전자받개인 MAn의 CTC가 공중합 기구를 설명하는데 유효하다고 알려져 있다.⁶ 교호공중합의 경우 St-MAn계를 제외한 다른 계에서도 DAC의 존재가 많이 알려져 있다. Butler⁷ 등은 PVCILo 방법으로 methyl vinyl ether와 cyanoethylene류의 CTC 안정화 에너지를 계산하여 착체의 안정한 형태를 예측하였다. Butler⁸ 등은 MAn-Furan(F)계의 경우 CTC를 거쳐 교호공중합이 일어나며 공중합체의 구조가 각각의 모노머가 교호된 형태라는 것을 NMR로 분석하고 Diels-Alder 부가물의 역활에 대하여 보고하였다. Kamo 등⁹은 MAn-F계의 공중합체의 구조는 exo형의 Diels-Alder 부가물의 호모폴리미로 되었다는 것을 제안하고 CTC가 Diels-Alder반응의 중요한 중간체를 형성한다는 결론을 내렸다. Ragab¹⁰은 F와 비슷한 구조를 가진 분자인 Pyrrole(P)과 그들의 메칠 유도체와 MAn과의 공중합을 시도하였으나, 단지 UV-spectra 로 착체를 확인하였을 뿐 종합은 일어나지 않는다고 보고하였다. 본 연구에서는 CTC를 Diels-Alder 형태의 착체 모형을 가정하여 중합반응이 일어나는 계인 MAn-F계와 종합이 일어나지 않는 계인 MAn-P계의 반응성을 전하 이동량을

계산하여 비교, 검토하여 그 이유를 분자궤도함수론에 의해서 해석하고자 한다.

이 론

CTC의 모형과 전하이동량. 교호공중합체의 형성을 설명하기 위해 도입한 Diels-Alder 형태의 착체모형은 Fig. 1과 같다.

즉 diene(F or P)의 반응 중심 원자인 r, t원자와 dienophile(MAn)의 s, u원자가 서로 상호작용을 해서 전자 비편재화된 형태를 CTC라고 가정한다. 이 때 반응중심 원자이외의 전자간의 상호작용을 무시한다. 이러한 착체의 형성과정은 F 혹은 P가 MAn과 멀리 떨어져 있으면 상호작용을 무시할 수 있으나, 서로 접근하면 상호작용이 일어나서, dienophile에서 diene 쪽으로 전하이동이 일어나면서 약한 겹침(overlapping)이 일어난다. 이 때의 전하이동량은 2차 섭동론에 의해서 아래의 식으로 표현된다.

$$dQ = 2 \left[\sum_{i=1}^{occ} \sum_{k=1}^{unocc} - \sum_{j=1}^{unocc} \sum_{k=1}^{occ} \right] \frac{(C_r^j C_s^k \gamma_1 + C_t^j C_u^k \gamma_2 + \dots)^2}{(E_{Aj} - E_{Bk})^2} \quad (1)$$

여기서 C_r^j 등은 j번 째 분자궤도함수에 있어서 r번 째 원자궤도함수의 계수이고, E_{Aj} 는 diene과 dieno-

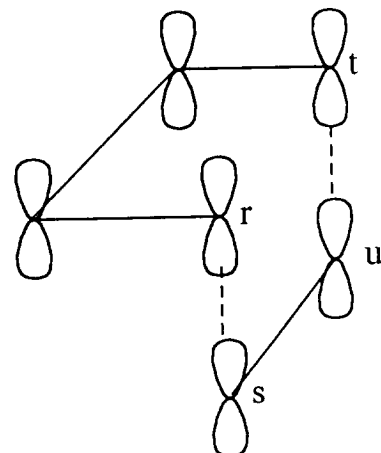


Fig. 1. Model of charge transfer complex.

Maleic Anhydride-Furan계와 Maleic Anhydride-Pyrrole계의 Diels-Alder 착체모형에 대한 분자궤도 함수론적 해석(I)

phile을 각각 분자 A, 분자 B라고 할 때 분자 A의 분자궤도 함수의 에너지를 나타낸다. 그리고 \sum_{α} 와 \sum_{β} 는 각각 점유궤도함수, 비점유궤도함수의 총화를 나타내고, γ 는 분자 A의 r번째 원자와 분자 B의 s번째 원자에 있어서 궤도함수들 사이의 σ - σ 형태로 중첩할 때의 공명적분의 크기를 나타낸다. 식 (1)은 Fukui가 제안한 frontier 이론을 이용하여 즉 반응에 주역활을 하는 최고점유 분자궤도함수(Highest Occupied Molecule Orbital, HOMO)와 최저비점유 분자궤도함수(Lowest Unoccupied Molecule Orbital, LUMO)만을 고려하여 근사적으로 아래의 식으로 표현할 수 있다.

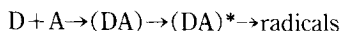
$$dQ = 2 \left[\sum_A^{\text{HOMO}} \sum_B^{\text{LUMO}} - \sum_A^{\text{LUMO}} \sum_B^{\text{HOMO}} \right] \frac{(C_r^j C_s^k \gamma_1 + C_t^j C_u^k \gamma_2 + \dots)^2}{(E_{A_j} - E_{B_k})^2} \quad (2)$$

계산. 양자화학적인 계산은 Pople¹¹ 등이 제안한 반경협적인 미분 겹침을 완전히 무시한 CNDO/2 방법으로 하였다. 이 때 사용한 각 파라미터는 Table 1과 같다.

계산시 필요한 좌표는 확장된 MM2 방법인 MMX 법¹²을 이용하여 에너지가 최소화 된 것으로 사용하였다.

결과 및 고찰

CTC를 형성하는 경우, 착체가 관여하는 중합기구는 아래와 같이 생각할 수 있다.



전자주개(Donor, D)와 전자받개(Acceptor, A)가 CTC(DA)를 형성한다. 이 때 생긴 CTC가 불안정한 경우 빛, 열 그리고 개시제 혹은 성장 라디칼이 관여하여 excited CTC인 (DA)*를 경유한 뒤 중합이 진행된다고 할 수 있다. 그리고 CTC가 안정한 경우에는 중합이 일어나지 않는다고 할 수 있다. 즉 CTC의 안정성이 중합의 가능성이 여부에 관계된다고 할 수 있다. CTC의 안정성의 척도로써 전하이동량

을 구하기 위하여 CNDO/2 계산결과 얻어진 MAn, F와 P분자의 HOMO, LUMO계수와 HOMO와 LUMO 에너지를 Fig. 2에 나타내었다.

전하 이동량을 구하기 위하여 MAn-F와 MAn-P계에 대해 가정한 Diels-Alder 형태의 CTC를 Fig. 3에 나타내었다. Fig. 3과 같은 모형에 대해서 Fig. 2

Table 1. Matrix Element from Atomic Data(eV)

	H	C	O	N
$\frac{1}{2}(I_s + A_s)$	7.176	14.051	19.316	25.390
$\frac{1}{2}(I_p + A_p)$		5.572	7.275	9.111

A : Electron affinity, I : Ionization potential

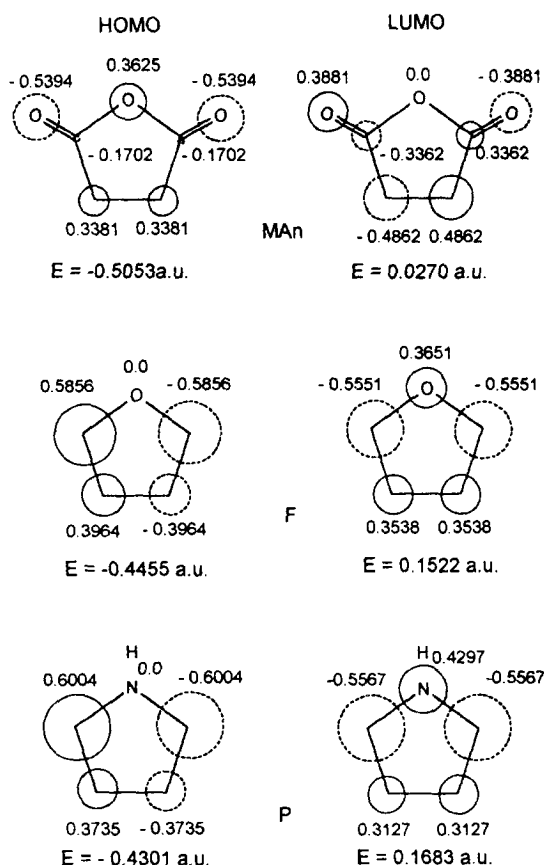


Fig. 2. Atomic coefficient and HOMO, LUMO energy of maleic anhydride(MAn), furan(F) and pyrrole(P).

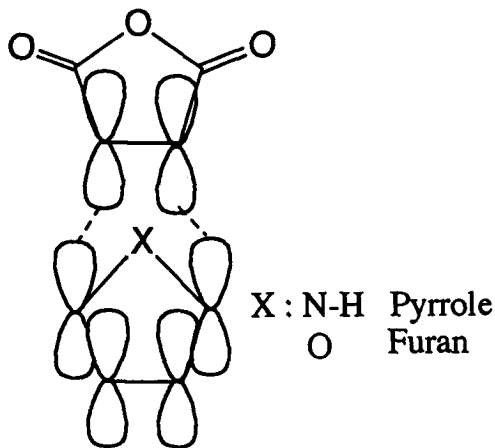
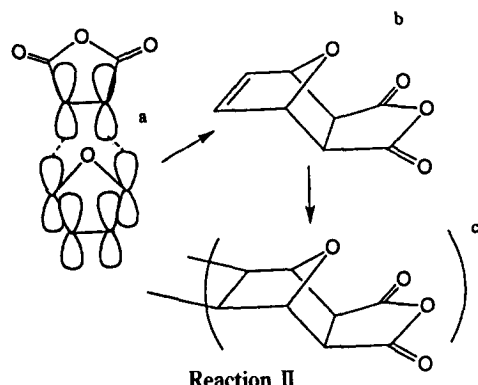
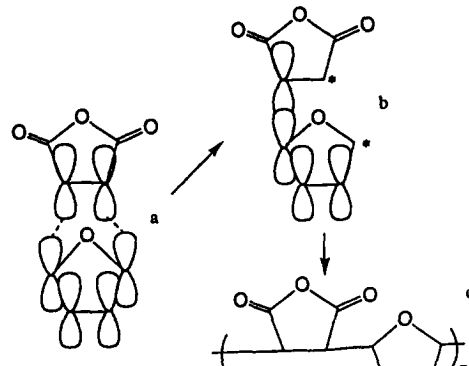


Fig. 3. Hypothesized CTC of MAn-F and MAn-P.

의 자료와 식(2)를 이용하여 구한 전하 이동량(dQ)의 값은 MAn-F의 경우 $2.2518(\gamma/a.u.)^2$, MAn-P의 경우 $2.6382(\gamma/a.u.)^2$ 이었다. 즉 MAn-P의 전하 이동량이 MAn-F의 경우보다 더 크다. 이는 MAn-P가 Fig. 3에 제안된 CTC 형태로 상당히 안정하다는 것을 의미한다. 이와 같은 사실은 Butler¹³의 보고에 의한 MAn-F의 CTC 회합상수(association constant, 24°C, Chloroform) 0.07 L/mole, Ragab¹⁰의 보고에 의한 MAn-P의 CTC 회합상수(25°C, Chloroform) 0.63 L/mole 값과 일치하고 있다. 이것은 MAn-P의 경우 착체는 adduct로 잘 생성되고 안정함을 나타낸다. 이러한 결과를 미루어 볼 때 MAn-P의 경우 전하 이동에 의해 CTC가 안정화되어 adduct로 되어서 중합이 진행되지 않는다고 생각된다.

MAn-F의 경우 Fig. 3의 CTC를 가정함으로써 Butler가 확인한 MAn-F의 교호공중합체(Reaction I, c), Kamo 등이 제안한 Diels-Alder형의 호모폴리머의 구조(Reaction II, c)를 예측 할 수 있다.

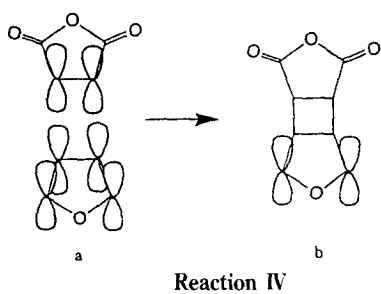
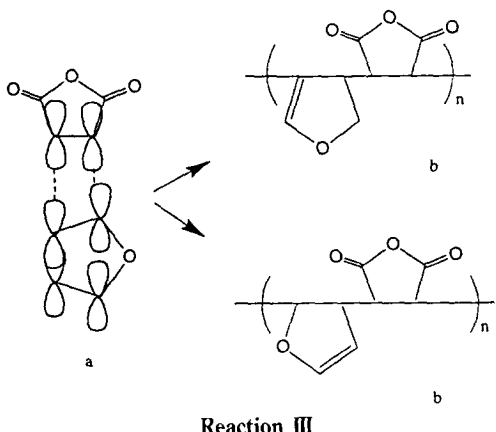
Reaction I의 경우 Hall¹⁴이 제안한 bond formation initiation이라는 개념을 확장해서 설명할 수 있다. 즉 MAn-F의 CTC(Reaction I, a)의 한 쪽 p 궤도함수가 겹쳐 결합을 형성하면서, 다른쪽에서는 radical 혹은 zwitterion을 형성(Reaction I, b)하여 중합이 되어 생성물(Reaction I, c)을 얻을 수 있다.



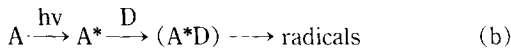
이 생성물의 경우 Butler 등이 확인한 구조와 동일하다는 것을 알 수 있다. Reaction II의 경우 CTC를 분자의 각각 원자 궤도함수가 겹쳐 exo형의 Diels-Alder의 부가물(Reaction II, b)을 형성하고 난 후, 이 부가물이 중합이 일어나 생성물(Reaction II, c)을 얻을 수 있다. 이러한 결과들은 Butler와 Kamo 등이 확인, 제안한 구조와 일치함을 알 수 있으며 가정한 CTC가 타당하다고 할 수 있다. 물론 CTC는 Diels-Alder 형태가 아닌 아래와 같은 다른 형태로 가정 할 수 있다. (Reaction III, IV a) 이러한 형태의 경우 dQ 값은 각각 $1.0664(\gamma/a.u.)^2$ (Reaction III), $0.0544(\gamma/a.u.)^2$ (Reaction IV)였다. 이는 CTC의 형성이 어렵다는 것을 의미하고 있다. 그리고 이들로 부터 얻어질 수 있는 생성물(Reaction III, IV b)은 확인 된 바 없다.

빛에 의해 모노머가 들뜬 후 exciplex(D^*A or

Maleic Anhydride-Furan계와 Maleic Anhydride-Pyrrole계의 Diels-Alder
착체모형에 대한 분자궤도 함수분석(I)



DA*)를 경유하는 반응인 아래에 대해 전하이동량을 구해 보았다.



(a)의 경우 전자주개인 F, P의 HOMO 바로 위의 분자궤도함수(Next HOMO, NHOMO)와 전자받개인 MAn의 LUMO와의 전하이동량, 그리고 (b)의 경우 MAn의 LUMO 바로 위의 LUMO(NLUMO)와 F, P의 HOMO와의 전하이동량은 없었다. 이는 ex-ciplex 형태의 착체를 형성하기 어렵다는 것을 의미하고 있음을 추측하게 한다.

CTC를 형성하지 않는 경우. Diels-Alder 형태의 CTC가 해리된 모노머 혹은 CTC를 형성하지 않은 모노머의 반응성을 알아보기 위하여 AIBN에서 유도된 라디칼인 2-methylpropio-nitrile radical, $(CH_3)_2$

C CN의 SOMO(single occupied molecule orbital) 에너지와 MAn, F의 HOMO, LUMO 에너지를 Fig. 4에 나타내었다.

Fig. 4에서 알 수 있듯이 2-methylpropionitrile 라디칼은 각 모노머에 대하여 친전자성 라디칼로 작용함을 알 수 있다. 이 라디칼의 반응성은 모노머와의 에너지차가 작은 F와 더 용이하게 일어 난다는 것을 예측할 수 있다. 또한 Fig. 4로 부터 MAn과 F가 반응할 때 MAn의 LUMO와 F의 HOMO가 서로 상호작용을 험을 알 수 있다. 즉 MAn는 전자반개, F는 전자주개로 작용한다. 개시 라디칼 혹은 성장사슬 라디칼의 모노머 공격 부위를 예측하기 위하여 MAn과 F에 대해 아래식 (3)으로 계산된 frontier 전자밀도를 Fig. 5에 나타내었다.

$$f_r^{(R)} = (C_{\text{HOMO},r})^2 + (C_{\text{LUMO},r})^2 \quad (3)$$

이 결과로 부터 개시제 라디칼은 $f_r^{(R)}$ 값이 가장 큰

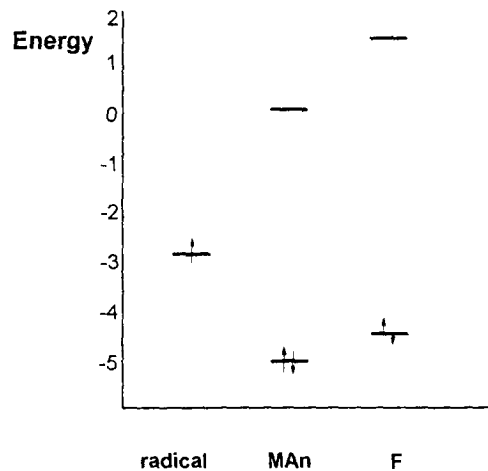


Fig. 4. Energy of MAn, F and Radical of AIBN.

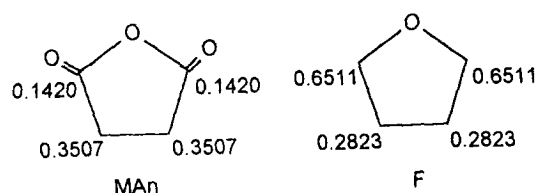


Fig. 5. Frontier electron density $f_r^{(R)}$ of MAn and F.

F의 α 부분으로 공격하여 중합이 개시 된다고 할수 있다. 이 때 생긴 라디칼(Init-F \cdot)은 다시 MAn의 부분(Fig. 5의 MAn에서 값이 가장 큰 부위)으로 공격한다. 이와 같은 단계를 반복함으로써 교호 공중합체를 얻을 수 있다.

본고에서 지금까지 논의한 내용은 용매의 영향등 반응 조건을 고려하지 않은 한계는 있으나, 제안한 Diels-Alder 형태의 CTC 모형이 교호 공중합의 반응성을 설명하는데 적절하다고 사료된다.

결 론

1. 교호 공중합이 일어나는 계인 Maleic anhydride-Furan계와 일어나지 않는 계인 Maleic anhydride-Pyrrole 계에 대한 해석을 하기 위해서 Diels-Alder 형태의 전하이동착체를 가정하여 반경협적인 방법인 CNDO/2을 이용하여 착체의 전하이동량을 구해본 결과 각각 2.2518, 2.6381($\gamma/a.u.$)²의 값을 얻었다. 이들 값은 착체의 해리상수의 경향성과 일치함을 알 수 있었다. 이 사실을 미루어 보아 Maleic anhydride-Pyrrole계의 경우 착체의 안정성에 의해 반응이 진행되지 않는다는 것을 설명할 수 있다. 제안된 전하이동착체 모형으로 Maleic anhydride-Furan계의 경우 얻어질 수 있는 교호 공중합체의 구조에 대해 검토해본 결과 알려진 구조를 잘 예측할 수 있음을 알 수 있었다.

2. Diels-Alder 형태의 전하이동착체가 해리된 모노머 혹은 전하이동착체를 형성하지 않은 모노머의 반응성에 대해서도 알아 보았다.

참 고 문 헌

1. F. R. Mayo and F. M. Lewis, *J. Am. Chem. Soc.*, **66**, 1954 (1944).
2. G. E. Ham, *J. Polym. Sci.*, **45**, 169 (1960).
3. K. Dodgson and J. R. Ebdon, *Eur. Poly. J.*, **13**, 791 (1977).
4. G. Odian, "Principles of Polymerization", 2nd Ed., pp 476-483, Wiley -Interscience publication, U. S. A. (1981).
5. J. M. G.Cowie, "Comprehensive Polymer Science", by G. Allen et. al., Vol 4, Part II, pp 396-398, Pergamon Press, U. S. A. (1989).
6. V. V. Zaitseva, S. Y. Zaitsev and Y. S. Zaitsev, *Macromolecule*, **25**, 2551 (1992).
7. J. R. Ebdon, C. R. Towns and K. Dodgson, *JMS-Rev. Macromol. Chem. Phys.*, **C 26**(4), 523 (1986).
8. R. G. Farmer, D. J. T. Hill and J. H. O'Donnell, *J. Macromol. Sci.-Chem.*, **A14**(1), 51 (1980).
9. G. B. Butler, C. H. Do and M. C. Zerner, *Macromolecules*, **25**, 1858 (1992).
10. Y. A. Ragab and G. B. Butler, *J. Polym. Sci. Chem.*, **19**, 1175 (1981).
11. B. Kamo, I. Morita, S. Horie and S. Furusawa, *Polymer J.*, **6**, 121 (1974).
12. Y. A. Ragab, *J. Polym. Sci. Chem.*, **29**, 773 (1991).
13. J. A. Pople and D. L. Beveridge, "Approximate Molecular Orbital Theory", McGraw-Hill, U. S. A. (1970).
14. K. B. Lipkowitz and D. B. Body Ed., "Reviews in Computational Chemistry", Vol 2, p 489, VCH, U. S. A. (1991).
15. G. B. Butler, J. T. Bodgett and M. Sharabash, *J. Macromol. Sci. Chem.*, **A4**(1), 51 (1970).
16. H. K. Hall, *Angew. Chem. Int. Ed. Engl.*, **22**, 440 (1974).